

СПИНОВЫЕ ФЛУКТУАЦИИ В НЕУПОРЯДОЧЕННЫХ СИСТЕМАХ ВБЛИЗИ ПЕРЕХОДА МЕТАЛЛ – ИЗОЛЯТОР

A.M. Финкельштейн

Неупорядоченная система взаимодействующих электронов исследуется методом ренормгруппы. Показано, что переход металл – изолятор происходит на фоне спонтанно возникающей перестройки спиновой плотности.

1. В последнее время предпринимаются попытки описания перехода металл – изолятор в неупорядоченной системе методами ренормгруппы (РГ) подобно теории фазовых переходов второго рода. Для свободных электронов этот подход был реализован в ^{1–3}. Взаимодействие диффундирующих электронов оказывается весьма существенным ², и значительно усложняет задачу из-за перемешивания частот. Автором была построена схема учета кулоновского взаимодействия в уравнениях РГ ³, что позволило рассмотреть ^{4, 5} поведение системы при наличии магнитных примесей и в присутствии магнитного поля, когда существенно зеемановское расщепление. В этих случаях сопротивление пленки ($d = 2$) в результате ренормирования обращается в бесконечность, а при $d > 2$ в уравнениях РГ имеется неустойчивая фиксированная точка, отвечающая переходу металл – изолятор.

Недавно ⁶ на основе схемы ³ были выведены уравнения РГ ($d = 2$) и в отсутствии магнитных воздействий, когда рассеяние примесями чисто потенциально (учитывались как кулоновские корреляции, так и вклад куперонов). Мы столкнулись с качественно новой ситуацией: при достижении некоторого масштаба расходятся (логарифмический полюс) константы, описывающие взаимодействие электронов, в то время как сопротивление остается конечным. При этом возникает тенденция к перестройке спиновой плотности: при приближении к полюсу спиновая восприимчивость расходится, а коэффициент спиновой диффузии стремится к нулю. Отличие от рассмотренных в ^{4, 5} случаев возникло не за счет включения куперонов, а из-за мод спиновой диффузии. Спиновое рассеяние полностью, а зеемановское расщепление частично подавляют эти моды ⁷, и поэтому при наличии магнитных воздействий система электронов оказывалась "приготовленной" к локализации. Если же внешние воздействия отсутствуют, то локализация происходит на фоне спонтанно возникающей перестройки спиновой плотности. В настоящей работе обсуждается роль спиновых флуктуаций при $\Delta = 2 + \epsilon$ ($\epsilon > 0$).

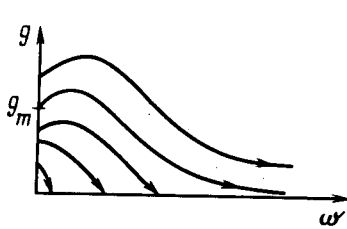


Рис. 1

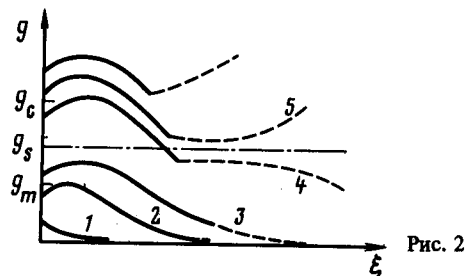


Рис. 2

2. Неупорядоченная система описывается следующим набором величин: постоянная ν – плотность состояний; D – коэффициент диффузии; z – параметр, учитывающий ренормирование частоты ^{3, 4}; $(2\Gamma - \Gamma_2)$, Γ_2 , Γ_C – амплитуды, описывающие взаимодействие электронов. $(2\Gamma - \Gamma_2)$ описывает взаимодействие флуктуаций плотности частиц, Γ_2 – спиновой плотности, а Γ_C учитывает взаимодействие куперонов. В эти амплитуды включены ферми-жидкостные поправки и статическое экранирование (рассматривается случай кулоновского, то есть дальнодействующего, взаимодействия). При ренормировании выполняется соотношение ³: $2\nu\Gamma - \nu\Gamma_2 = z$, что фактически отвечает условию несжимаемости электронной жидкости.

В нижайшем порядке по ϵ уравнения РГ имеют вид ⁶:

$$dg/d\xi = -\epsilon g + 2g^2 \left[5 - 3 \frac{1+w}{w} \ln(1+w) \right], \quad dw/d\xi = g(1+w)^2 \quad (1)$$

$$d \ln z / d\xi = (-1 + 3w) / (1 + w)^2 \quad (2)$$

здесь $w = \nu \Gamma_2 / z$; $\xi = \ln \lambda_0 / \lambda$ (λ — импульс обрезания); $g = \lambda^{d-2} / (2\pi)^2 \nu D$ — безразмерный параметр, пропорциональный сопротивлению образца размеров $L \sim \lambda^{-1}$. В (1), (2) опущен вклад амплитуды Γ_C , так как в нижайшем по ϵ приближении он не существен ⁶.

В ⁶ был вычислен координатор спиновой плотности $\chi(q, \omega) = \chi_S D_S q^2 / (D_S q^2 - i\omega)$ и найдены спиновая восприимчивость χ_S и коэффициент спиновой диффузии D_S ¹⁾:

$$\chi_S = \frac{1}{2} (g_L \mu_B)^2 \nu z (1+w); \quad D_S = D / z (1+w). \quad (3)$$

С учетом (2) отсюда следует, что

$$\chi_S = \frac{1}{2} (g_L \mu_B)^2 \nu (1 + \nu \Gamma_2^0) f(w)/f(w_0); \quad f(w) = (1+w)^4 \exp[-4w/(1+w)],$$

где $w_0 = \nu \Gamma_2^0$ — затравочное значение $\nu \Gamma_2$. В этом приближении χ_S зависит только от w , чья величина определяется уравнениями (1). Траектории $g(w)$ уравнений (1) схематично изображены на рис. 1. При малых g_0 (g_0 — начальное значение параметра g) траектории $g(w)$ достигают $g=0$ при конечных значениях w . Однако для g_0 , превышающих некоторое g_m , характер траекторий меняется: у таких траекторий $w \rightarrow \infty$ и при этом $g \neq 0$. Существенно, что при $g_0 > g_m$ расходимость w (а следовательно и χ_S) происходит при конечном значении $\xi = \xi_{cr}(g_0, \nu \Gamma_2^0)$.

3. Итак, если затравочная проводимость мала ($g_0 > g_m$), то при достижении масштаба ξ_{cr} возникает тенденция к перестройке спиновой плотности: $\chi_S \rightarrow \infty$, а $D_S \rightarrow 0$, хотя проводимость $\sigma = 2e^2 \nu D$ остается конечной. Каким представляется дальнейшее развитие при $\xi > \xi_{cr}$? За счет флюктуаций состава в образце имеются области, где обсуждаемая неустойчивость разовьется раньше и возникнут островки локализованной плотности спинов. Эти локализованные моменты намагничивают остальные электроны. Спадание намагниченности с расстоянием r определяется теми же процессами, которые приводили к ренормированию χ_S , и поэтому $\chi_S \sim \frac{1}{r^d} g(r) f(w) w(r)$ (в случае хорошего металла, когда $g(r) \sim r^{2-d}$, это было получено в ⁹). Медленное спадание намагниченности приводит к подавлению длинноволновых мод спиновой диффузии (и куперонов) из-за раздвижки поверхности Ферми у электронов с разными проекциями спина, и развитие неустойчивости останавливается. При концентрации примесей $n \sim n_c$ (n_c — концентрация в точке перехода; n_c отвечает $g_0 = g_c$) существует прямой обмен ¹⁰, который приводит к антиферромагнитному взаимодействию моментов. Это должно блокировать ферромагнитное взаимодействие, возникающее за счет косвенного обмена ⁹. Поэтому дальнейшее ($\xi > \xi_{cr}$) поведение $g(\xi)$ описывается уравнением:

$$dg/d\xi = -\epsilon g + 2g^2, \quad (5)$$

выведенным для случая магнитных примесей. Уравнение (5) имеет фиксированную точку $g = g_S$, отвечающую переходу металл — изолятор. В итоге мы приходим к следующей кар-

¹⁾Независимо формулы (3) были получены в ⁸, где снова обсуждалась модель ³, когда фактор Ланде $g_L = 0$. При этом магнитное поле воздействует только на купероны, подавляя их. И в этом случае при $d=2$ χ_S расходится при ренормировании (см. Appendix ⁶ и ⁸).

тине: в области перехода кулоновские корреляции приводят к образованию случайной волны спиновой плотности, на фоне которой происходит переход металл — изолятор.

4. На рис. 2 схематично представлено поведение $g(\xi)$ при разных g_0 . Сплошными линиями изображены решения (1) вплоть до $\xi \approx \xi_{cr}$; далее пунктиром показаны решения (5). Штрих-пунктиром отмечено положение g_S . Переход происходит при таком $g_0 = g_c$, чтобы при достижении ξ_{cr} выполнялось $g(\xi_{cr}) = g_S$: кривые 4 и 5 описывают соответственно металл и изолятор очень близко от перехода. Кривые 1—3 поясняют поведение спиновой восприимчивости. При $g_0 \ll g_m$ (кривая 1) χ_S — чисто паулиевская; при $g_0 < g_m$ (кривая 2) χ_S отличается от паулиевской за счет роста w ; при $g_m < g_0 < g_c$ (кривая 3) из-за образования локализованных моментов χ_S должна содержать вклад типа Юри.

Измерения показали¹¹, что в металлической фазе в области $n_c < n \lesssim 2n_c$ χ_S не подчиняется закону Паули и имеет заметную компоненту Юри-типа.

Изложенная картина основывалась на том, что при ренормировании наиболее сильно расстет амплитуда Γ_2 . Поскольку $(2\Gamma - \Gamma_2)$, описывающая взаимодействие зарядовой плотности, тоже расходится при $\xi \rightarrow \xi_{cr}$ (хотя и медленнее, чем Γ_2), то представляется возможным и другой вариант перехода. Можно предположить, что при $g_0 \approx g_m$ одновременно с перестройкой спинов происходит перестройка зарядовой плотности. Проводимость при этом должна обращаться в ноль за счет пиннинга. Поскольку выходящей из $g_0 = g_m$ траектории отвечает конечная проводимость, то в этом варианте в области перехода σ исчезает практически скачком.

В Si : P было обнаружено¹², что при $(n - n_c)/n_c \sim 1\%$ температурная поправка κ меняет знак. При объяснении этого факта предполагалось¹², что вблизи перехода расходится радиус экранирования r_{scr} . Впоследствии было выяснено^{3, 13}, что сжимаемость $dN/d\mu$, определяющая величину r_{scr} , не содержит существенных диффузионных поправок, и поэтому это объяснение отпадает. Автор полагает, что причина смены знака у $d\sigma/dT^{1/2}$ в том, что здесь вблизи перехода осуществляется перестройка в духе описанных выше. Для выяснения этого вопроса нужны данные о спиновой восприимчивости в этих образцах, которые, к сожалению, отсутствуют.

Автор благодарен Д.Е.Хмельницкому и А.И.Ларкину за полезные обсуждения.

Литература

1. Abrahams E., Anderson P.W., Licciardello D.C., Ramakrishnan T.V. Phys. Rev. Lett., 1979, **42**, 673; Wegner F.J. Zeit. Phys., 1979, **B35**, 207.
2. Альтшуллер Б.Л., Аронов А.Г. ЖЭТФ, 1979, **77**, 2028; Althuler B.L., Aronov A.G., Lee P.A. Phys. Rev. Lett., 1980, **44**, 1288.
3. Финкельштейн А.М. ЖЭТФ, 1983, **84**, 168.
4. Финкельштейн А.М. Письма в ЖЭТФ, 1983, **37**, 436; ЖЭТФ, 1984, **86**, 367.
5. Castellani C., DiCastro C., Lee P.A., Ma M. Preprint 1984,
6. Finkel'stein A.M. Zeit. Phys., 1984, (in press).
7. Lee P.A. J. Non-Cryst. Sol., 1980, **35**, 21; Kawabata A. J. Phys. Soc. Japan 1981, **50**, 2461; Lee P.A., Ramakrishnan T.V. Phys. Rev., 1982, **B26**, 4009.
8. Castellani C., DiCastro C., Lee P.A., Ma M., Sorella S., Tabet E. Preprint 1984.
9. Альтшуллер Б.Л., Аронов А.Г., Зюзин А.Ю. Письма в ЖЭТФ, 1983, **38**, 128.
10. Andres K., Bhatt R.N., Goabwin P., Rice T.M., Walstedt R.E. Phys. Rev., 1981, **B24**, 244.
11. Ue M., Maekawa S. Phys. Rev. 1971, **B3**, 4243; Quirt J.D., Marko J.R. Phys. Rev., 1973, **B7**, 3842.
12. Rosenbaum T.F., Andres K., Thomas G.A., Lee P.A. Phys. Rev. Lett., 1981, **46**, 568.
13. Lee P.A. Phys. Rev., 1982, **B26**, 5882; Castellani C., DiCastro C., Forgacs G., Tabet E. Nuclear Phys., 1983, **B225**, 441.